



**UNIVERSIDADE FEDERAL
DE SANTA CATARINA**

CENTRO TECNOLÓGICO
DEPARTAMENTO DE ENGENHARIA MECÂNICA

EMC 5412 – TRANSFERÊNCIA DE CALOR E
MECÂNICA DOS FLUIDOS COMPUTACIONAL
PROFESSOR ANTONIO FABIO CARVALHO DA SILVA

Trabalho 3

Formulação Implícita da Condução Transiente

GUILHERME GWADERA

FLORIANÓPOLIS, 14 DE SETEMBRO DE 2018

1 Introdução

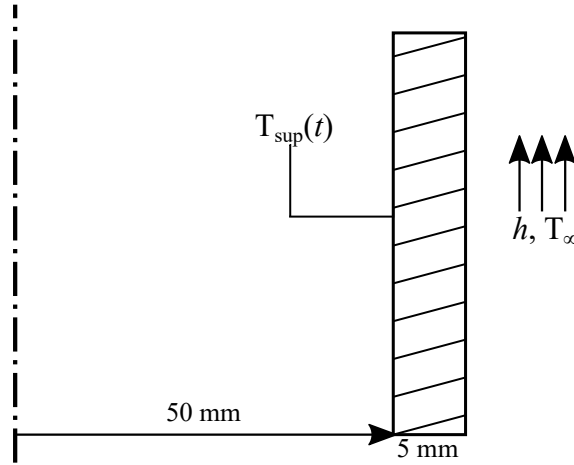


Figura 1: Representação esquemática do problema.

Neste problema há um longo cilindro de alumínio ($\rho = 2700 \text{ kg/m}^3$, $c_p = 900 \text{ J/kg } ^\circ\text{C}$, $k = 230 \text{ W/m } ^\circ\text{C}$) com raio interno de 50 mm e uma parede com espessura de 5 mm, inicialmente a uma temperatura de $80 \text{ } ^\circ\text{C}$, conforme a Figura 1. No instante $t = 0$, a temperatura da superfície interna passa a variar de acordo com

$$T_{\text{sup}}(t) = 150 \text{ } ^\circ\text{C} + 50 \text{ } ^\circ\text{C} \cos(50\pi t)$$

onde o tempo é dado em segundos, enquanto a superfície externa troca calor por convecção com um fluido externo, com $h = 20\,000 \text{ W/m}^2 \text{ } ^\circ\text{C}$ e $T_\infty = 80 \text{ } ^\circ\text{C}$.

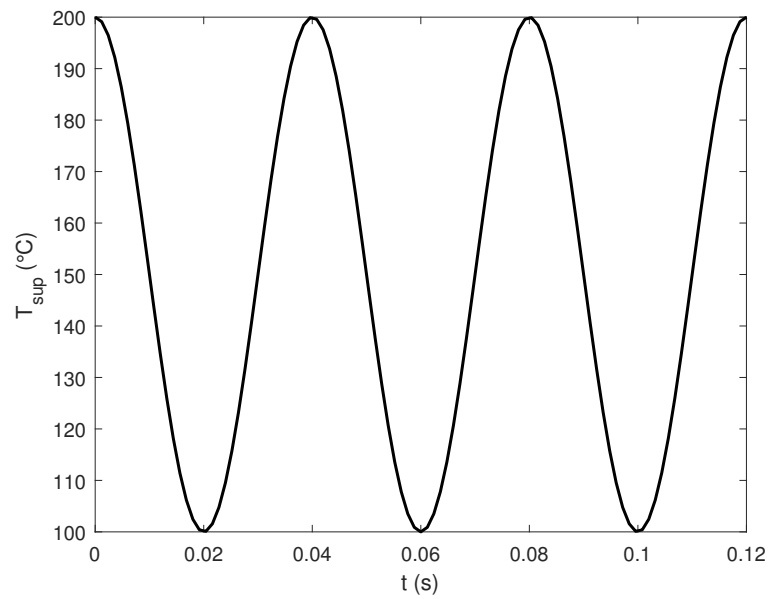


Figura 2: Gráfico de T_{sup} ao longo do tempo.

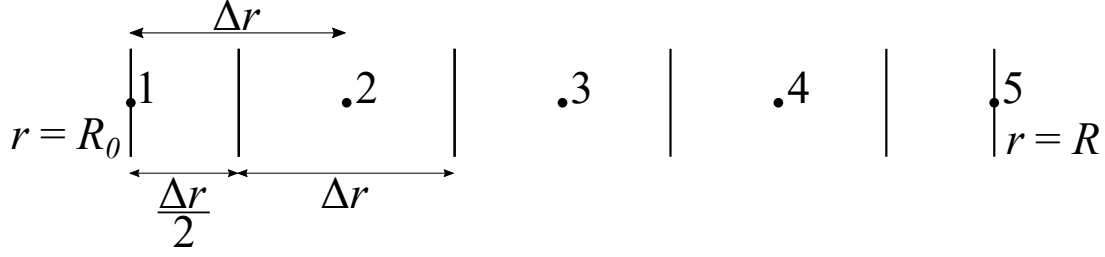


Figura 3: Representação da malha utilizada para a resolução.

Realizando um balanço de energia sobre o sistema, em coordenadas cilíndricas, é encontrada a equação

$$\frac{1}{r} \frac{\partial}{\partial r} \left(k \frac{\partial T}{\partial r} \right) = \rho c_p \frac{\partial T}{\partial t}$$

na qual as seguintes condições de contorno e condição inicial são aplicadas

$$\begin{aligned} T(r = R_0, t) &= T_{\text{sup}}(t) \\ -k \frac{\partial T}{\partial r}(r = R, t) &= h(T - T_{\infty}) \\ T(r, t < 0) &= 80^{\circ}\text{C} \end{aligned}$$

Para a resolução por meio dos métodos dos volumes finitos, a geometria unidimensional axissimétrica foi discretizada em N volumes de controle, conforme a Figura 3, na qual $R_0 = 50 \text{ mm}$, $R = 55 \text{ mm}$ e $N = 5$. Os pontos das fronteiras estão localizados nas superfícies, enquanto os pontos internos estão localizados nos centros dos volumes de controle.

Neste caso, foi utilizada a formulação totalmente implícita da condução transiente, ou seja, a temperatura de um ponto em um certo intervalo de tempo Δt é igual a temperatura no instante $t + \Delta t$. Os volumes de controle possuem uma espessura Δr , e os pontos estão todos igualmente espaçados, com uma distância Δr , calculado por

$$\Delta r = \frac{R - R_0}{N - 1}$$

Para o primeiro volume de controle, a temperatura é dada pela condição de contorno em função do tempo:

$$T_1 = T_{\text{sup}}(t)$$

Para os volumes de controle internos, a equação discretizada e seus coeficientes é

$$\begin{aligned} a_p T_P &= a_e T_E + a_w T_W + a_p^0 T_P^0 \\ a_e &= \frac{k A_e}{\Delta r} = \frac{k(2\pi r_e H)}{\Delta r} \\ a_w &= \frac{k A_w}{\Delta r} = \frac{k(2\pi r_w H)}{\Delta r} \\ a_p^0 &= \frac{M_P c_p}{\Delta t} = \frac{(\rho \pi (r_e^2 - r_w^2) H) c_p}{\Delta t} \\ a_p &= a_e + a_w + a_p^0 \end{aligned}$$

onde a área de cada face do volume foi calculada pela equação de superfície de cilindros ($A = 2\pi rH$), na qual a altura H é unitária. A massa do volume de controle é encontrada pela relação $M_P = \rho V_P$, na qual o volume é calculado pela equação de cilindro anular ($V_P = \pi(R^2 - r^2)H$). As coordenadas r_e e r_w são calculadas de acordo com as seguintes equações, onde r_P é a coordenada do ponto P .

$$r_e = r_P - \frac{\Delta r}{2}$$

$$r_w = r_P + \frac{\Delta r}{2}$$

Para o último volume de controle, com a condição de contorno de fluxo convectivo, a equação algébrica e seus coeficientes são:

$$a_p T_P = a_w T_W + a_p^0 T_P^0 + b$$

$$a_w = \frac{kA_w}{\Delta r} = \frac{k(2\pi r_w H)}{\Delta r}$$

$$a_p^0 = \frac{M_P c_p}{\Delta t} = \frac{(\rho\pi(R^2 - r_w^2)H)c_p}{\Delta t}$$

$$b = hAT_\infty = h(2\pi RH)T_\infty$$

$$a_p = hA + a_w + a_p^0$$

Como a formulação totalmente implícita da condução transiente é estável para qualquer intervalo de tempo utilizado, pois os coeficientes serão sempre positivos, poderia ser escolhido qualquer Δt arbitrário para a resolução deste problema. No entanto, devido a condição de contorno transiente, com um período de 0,04 s como mostrado na Figura 2, o intervalo de tempo utilizado deve ser menor que este período para capturar corretamente o comportamento periódico do sistema. Neste caso, Δt foi obtido dividindo o tempo de um período em intervalos cada vez menores, para avaliar a influência do passo de tempo utilizado na resolução numérica.

Tomando como exemplo a malha da Figura 3, com 5 volumes de controle ($\Delta r = 1,25$ mm), e passo de tempo $\Delta t = 0,002$ s, o sistema de equações lineares em forma matricial resultante é

$$\begin{bmatrix} 1 & 0 & 0 & 0 & 0 \\ -58528 & 607559 & -59973 & 0 & 0 \\ 0 & -59973 & 622377 & -61418 & 0 \\ 0 & 0 & -61418 & 637195 & -62863 \\ 0 & 0 & 0 & -62863 & 330705 \end{bmatrix} \cdot \begin{bmatrix} T_1 \\ T_2 \\ T_3 \\ T_4 \\ T_5 \end{bmatrix} = \begin{bmatrix} T_{\text{sup}}(t) \\ 489058 T_2^0 \\ 500986 T_3^0 \\ 512914 T_4^0 \\ 260930 T_5^0 + 552920 \end{bmatrix}$$

O algoritmo de resolução consiste então em calcular a matriz coluna de termos independentes para cada passo de tempo, a partir das temperaturas do tempo anterior (T^0), e em seguida, resolver o sistema de equações lineares. A solução do sistema de equações foi obtida utilizando o *solver* do MATLAB. O critério escolhido para determinar se o regime transiente periódico havia sido alcançado foi a variação no perfil de temperatura ao longo da parede entre o período atual e o anterior, onde cada período possui 0,04 s. Se a variação de temperatura calculada conforme a equação abaixo fosse menor que uma certa tolerância ($\varepsilon = 10^{-4}$), o programa interrompia o *loop* de cálculo, significando que o regime havia sido alcançado. Senão, o programa continuava a avançar no tempo.

$$|T(r, t) - T(r, t - 0,04 \text{ s})| < \varepsilon$$

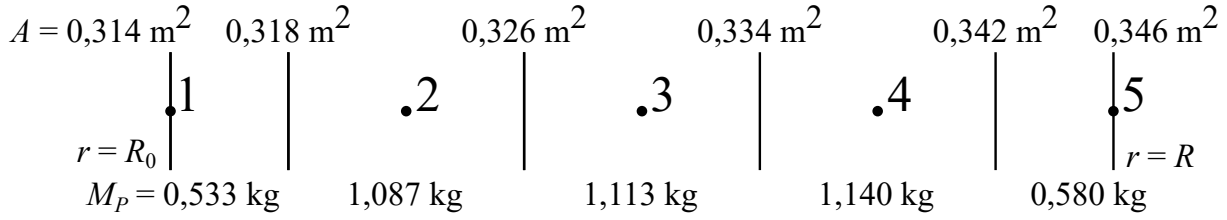


Figura 4: Exemplo da resolução com 5 volumes de controle, com as áreas de cada face e as massas de cada volume.

2 Resultados

Utilizando 10 pontos na malha e com $\Delta t = 0,02/10 = 0,002$ s, os perfis de temperatura ao longo do tempo no volume central da parede e na superfície externa obtidos estão apresentados nas Figuras 5a e 5b. Os perfis de temperatura na parede no início do aquecimento estão mostrados nas Figuras 6a e 6b. Pode-se observar que devido a temperatura prescrita periódica no tempo, a temperatura ao longo da parede sobe de forma intermitente. Após cerca de 1 segundo, a temperatura da superfície externa atinge o regime transiente periódico, significando que o sistema inteiro atingiu tal regime. Isso ocorre porque o fluxo de calor percorre a parede em direção à superfície externa resfriada, a partir da superfície interna aquecida. Variando o número de volumes não se nota uma diferença significativa nas temperaturas, somente uma suavização do perfil devido à melhor precisão obtida com mais pontos na malha de cálculo.

Ao se utilizar um $\Delta t = 0,02$ s, ou seja, metade de um período da condição de contorno periódica, o perfil obtido é o da Figura 7a. Nota-se que os perfis possuem um comportamento menos suave, já que neste caso a temperatura da superfície interior varia em pulsos, sendo 100°C em um instante, e 200°C em outro. Já com um $\Delta t = 0,04$ s ou um múltiplo desse número, a variação periódica de $T_{\text{sup}}(t)$ não é capturada, resultando em um valor constante de temperatura na superfície ($T_{\text{sup}} = 200^\circ\text{C}$), e obtendo um perfil conforme a Figura 7b. Neste caso, o perfil alcança um regime totalmente estacionário, e com uma temperatura mais elevada.

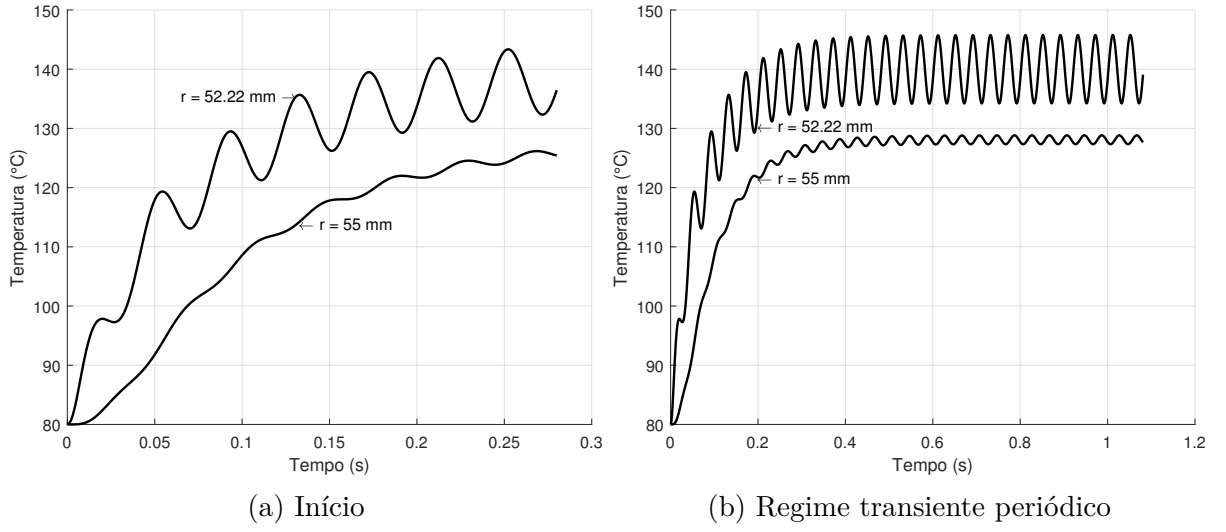


Figura 5: Perfis de temperatura no volume central da parede e na superfície externa, com $N = 10$ e $\Delta t = 0,002 \text{ s}$.

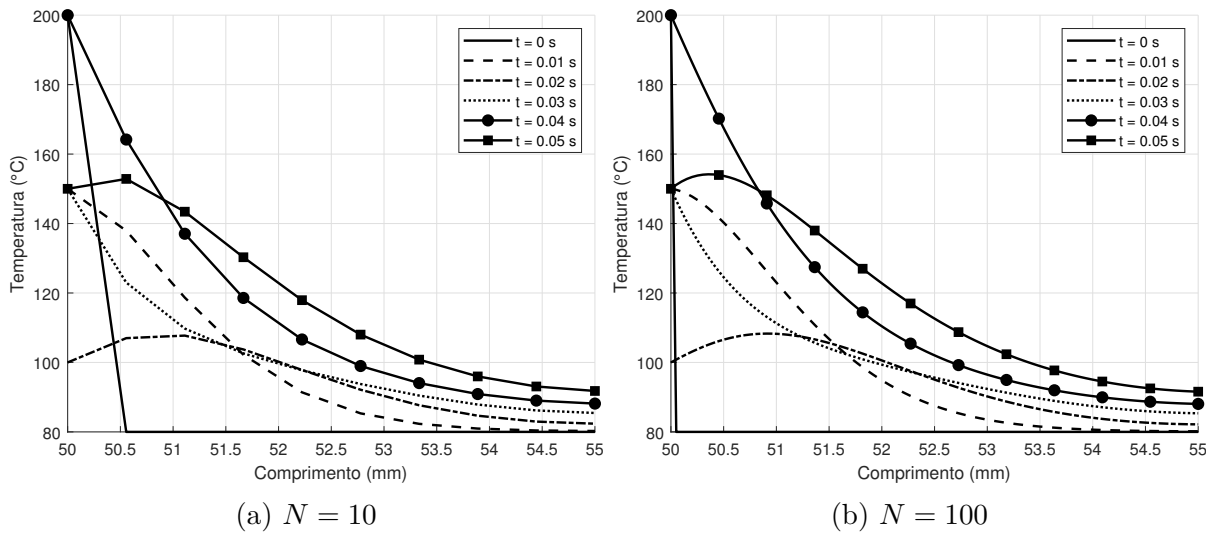


Figura 6: Perfis de temperatura na parede nos primeiros 6 passos de tempo $\Delta t = 0,002 \text{ s}$

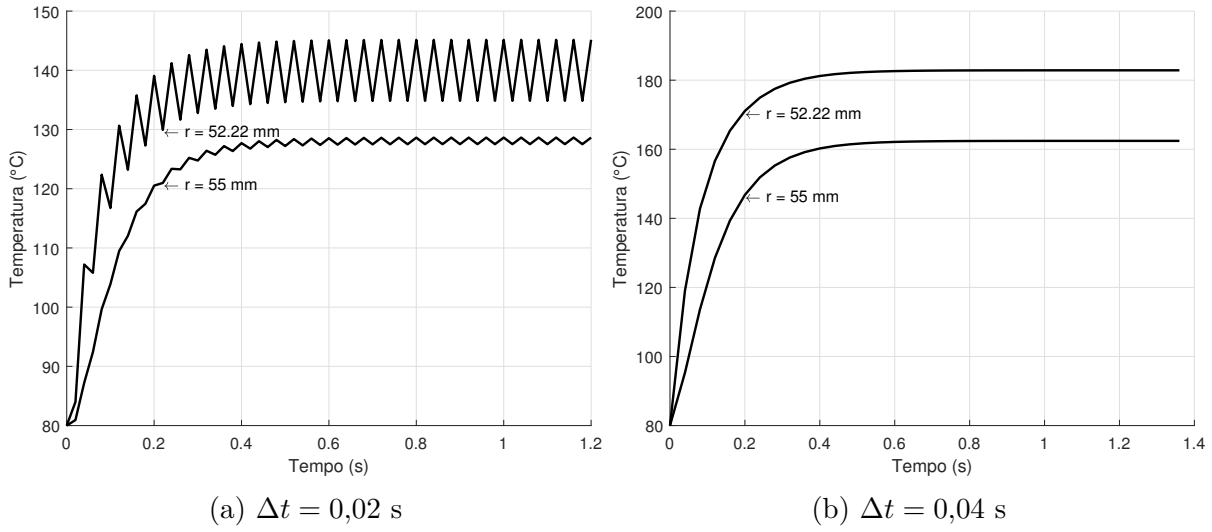


Figura 7: Perfis de temperatura no volume central e na superfície externa, com $N = 10$.

3 Conclusão

Neste trabalho foi implementado um programa para a resolução de um problema de condução transiente com condição de contorno em função do tempo, por meio do métodos dos volumes finitos, utilizando a formulação totalmente implícita. Foi obtido os perfis de temperatura ao longo do tempo, os quais atingiam um regime transiente periódico após algum tempo, devido à variação periódica da temperatura da superfície interna. Observou-se que a escolha do tamanho de passo de tempo possuía grande influência nos resultados, podendo até eliminar a periodicidade dos perfis de temperatura. Variando o número de volumes de controle utilizados, não foi observado um grande efeito no valor dos resultados.

4 Código

```
1 %% Parâmetros e Constantes
2 k = 230; % Condutividade [W/(m*K)]
3 rho = 2700; % Massa específica [kg/m^3]
4 cp = 900; % Calor específico [J/kg K]
5 R0 = 50e-3; % Raio interno [m]
6 R = 55e-3; % Raio externo [m]
7 H = 1; % Altura do cilindro [m]
8 N = 5; % Número de volumes
9 Ti = 80; % Temperatura inicial [°C]
10 h = 20000; % Coeficiente convectivo [W/m^2 K]
11 T_inf = 80; % Temperatura do fluido [°C]
12 T_sup = @(t) 150 + 50 .* cos(50 .* pi .* t); % T da superfície [°C]
13
14 %% Discretização e Inicialização
15 dr = (R - R0) / (N - 1); % Distância entre pontos [m]
16 r = R0:dr:R; % Coordenadas dos pontos P [m]
17 r_e = [r(1:N-1) + dr./2, r(N)]; % Coordenadas dos pontos e [m]
18 r_w = [r(1), r(2:N) - dr./2]; % Coordenadas dos pontos w [m]
19 Area = [R0, (R0+dr/2):dr:(R-dr/2), R]* 2 * pi * H; % Área das faces
20 Vol = (r_e.^2 - r_w.^2) * pi * H; % Volumes [m^3]
21 dt = 0.02 / 10; % Passo de tempo [s]
22 per = 0.04 / dt; % Número de passos em um período
23 bn = h * Area(N+1) * T_inf; % CC fluxo convectivo
24 tol = 1E-4; % Tolerância critério de parada
25 T(1:N) = Ti; T(1) = T_sup(0); % Inicialização com T inicial
26
27 %% Resolução
28 ae = [0, k .* Area(3:N) ./ dr]; % Coeficientes face leste
29 aw = k .* Area(2:N) ./ dr; % Coeficientes face oeste
30 ap0 = rho .* Vol .* cp ./ dt;
31 ap = [ae, h*Area(N+1)] + [1, aw] + [0, ap0(2:N)];
32 A = diag(-ae, 1) + diag(ap) + diag(-aw, -1); % Matriz tridiagonal
33
34 for t = dt:dt:10
35     T0 = T(end, 1:N);
36     % Matriz coluna de termos independentes
37     b = [T_sup(t), ap0(2:N-1).*T0(2:N-1), ap0(N).*T0(N) + bn]';
38     % Resolução do sistema de equações
39     T(end+1, 1:N) = (A \ b)';
40     % Critério de parada
41     if size(T, 1) > per
42         delta = T(end, :) - T(end-per, :);
43         if all(abs(delta) < tol)
44             break
45         end
46     end
47 end
```